

Conductivité ionique dans les verres

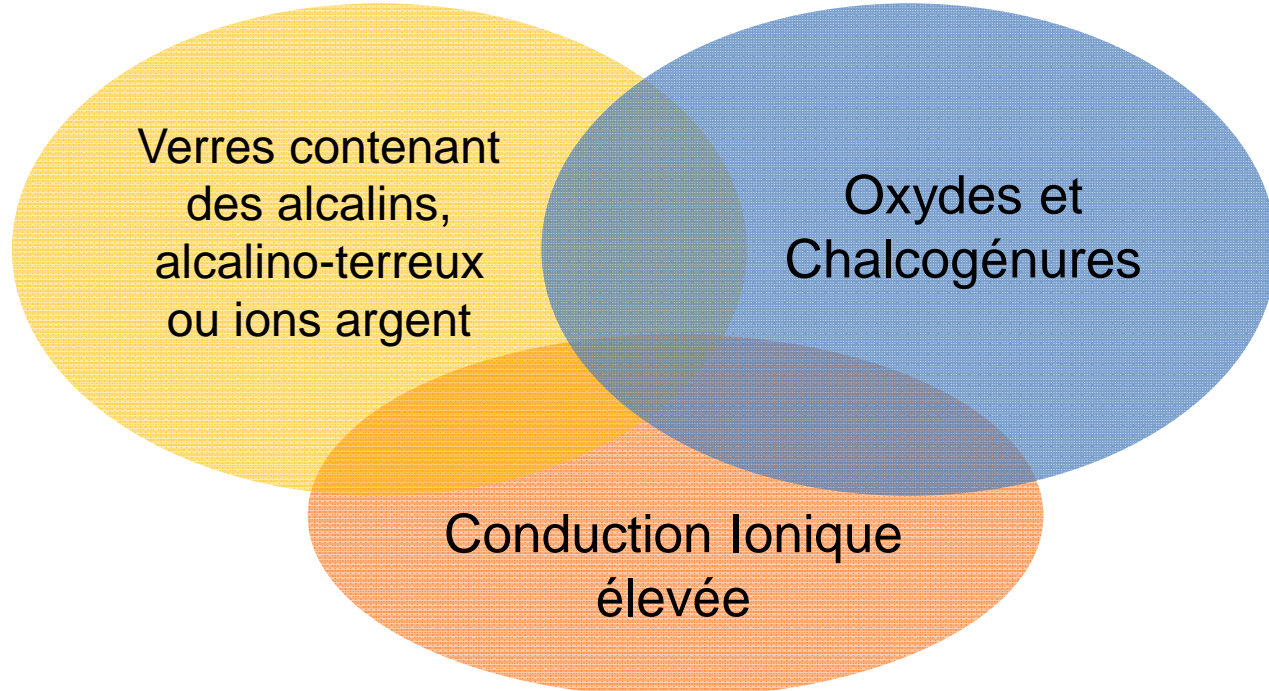
A. Pradel, A. Piarristeguy, M. Ribes

Institut Charles Gerhardt Montpellier,

Équipe Chalcogénures et Verres,

CC1503, Université Montpellier 2,

Pl. E. Bataillon, F-34095 Montpellier cedex 5, France



↪ Dispositifs de stockage de l'énergie

Batteries tout-solide

↪ Dispositifs de stockage de l'information

Mémoires ioniques

Spectroscopie d'impédance Complexe

Une succession de signaux de **tension sinusoïdale $U(\omega)$** de fréquences différentes est appliquée à l'échantillon



e = épaisseur de l'échantillon,
 S = surface métallisée en contact avec l'électrode



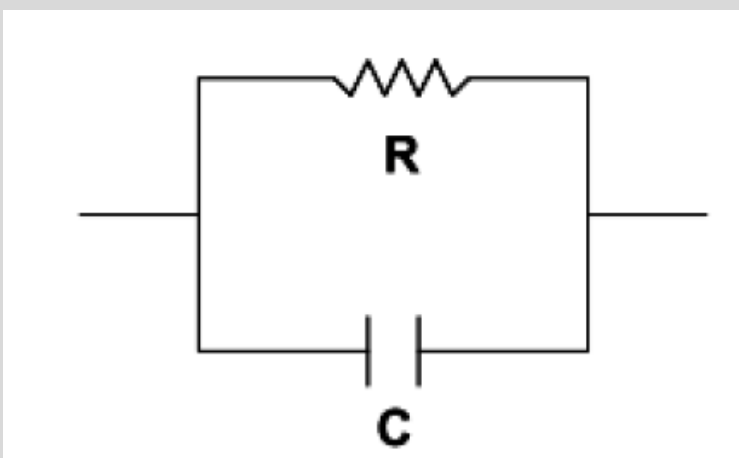
Intensité sinusoïdale $I(\omega)$
enregistrée



Impédance du matériau

$$Z(\omega) = \frac{U(\omega)}{I(\omega)} = \frac{U^0 \exp(j\omega t)}{I^0 \exp(j\omega t + \varphi)} = |Z| \exp(-j\varphi)$$

Circuit modélisant le comportement électrique d'un verre



$$Z = \frac{R}{1 + j\tau\omega} = \text{Re}(Z) + j\text{Im}(Z)$$

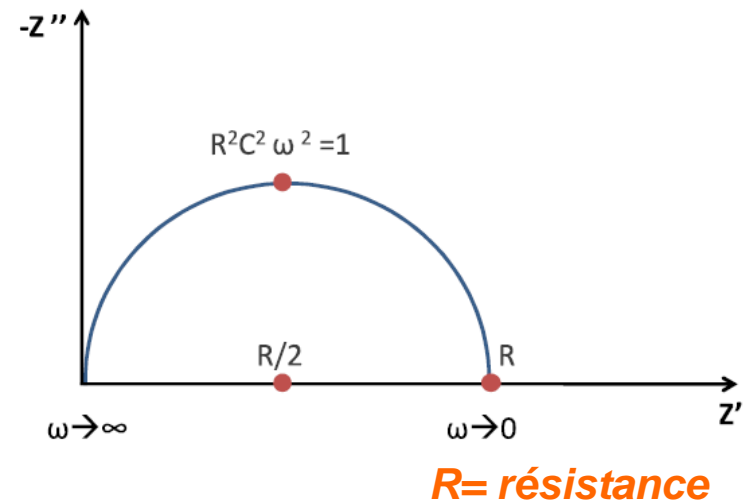
$$\text{Re}(Z) = \frac{R}{1 + \tau^2\omega^2}$$

$$\text{Im}(Z) = \frac{-R\tau\omega}{1 + \tau^2\omega^2}$$

avec $\tau = RC$ (constante de temps)

Spectroscopie d'impédance Complexe

Diagramme de Nyquist



Conductivité

$$\sigma = \frac{1}{R} \times \frac{e}{S}$$



e = épaisseur de l'échantillon,
 S = surface métallisée en contact avec l'électrode

Dépendance avec la température : Loi d'Arrhenius

$$\sigma = \frac{\sigma_0}{T} \exp(-E_\sigma / kT)$$



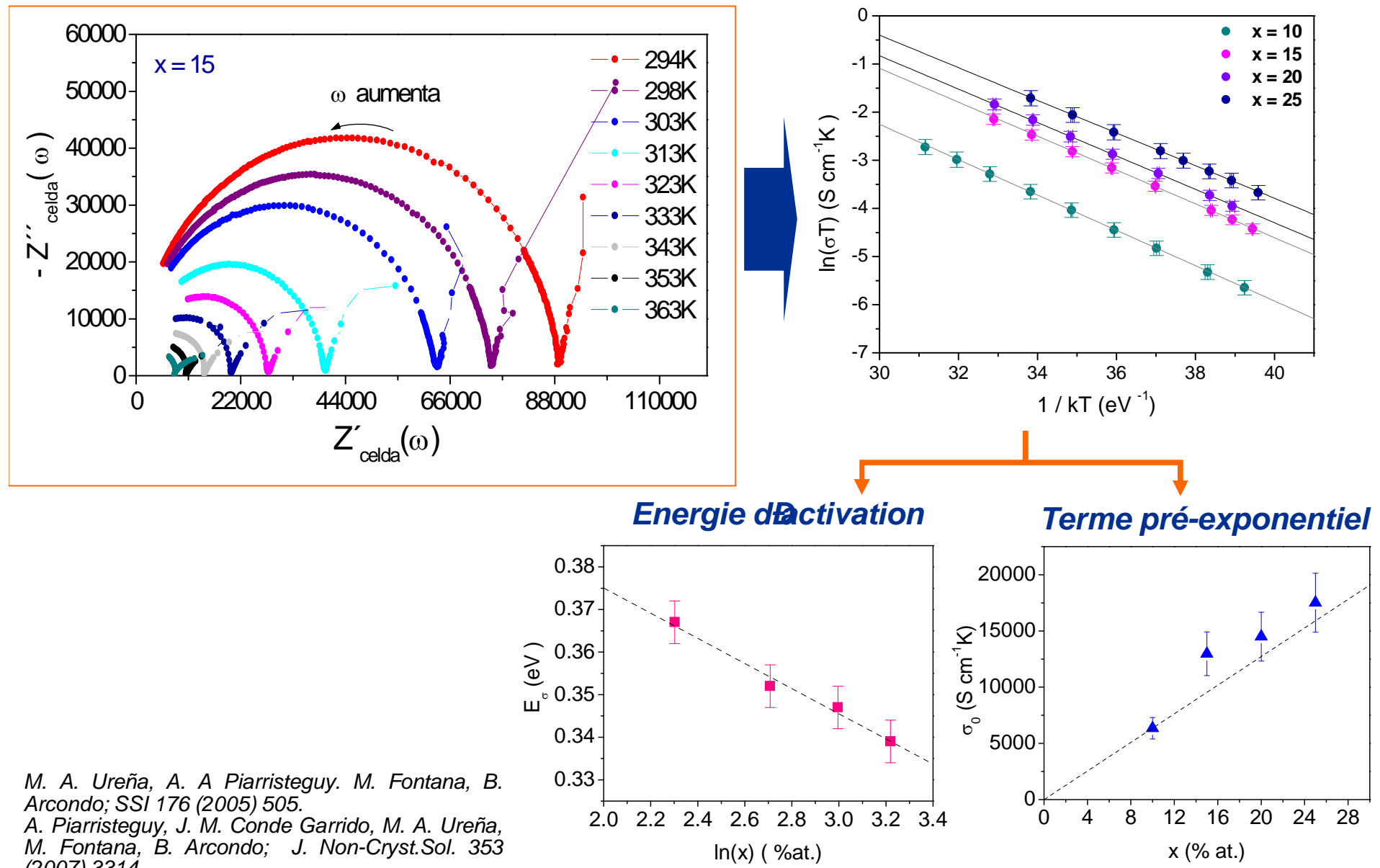
$$\ln(\sigma \cdot T) = -\frac{E_\sigma}{kT} + \ln \sigma_0$$

E_σ : énergie d'activation

σ_0 : terme pré-exponentiel

L'énergie d'activation est déterminée en calculant, par régression linéaire, la pente de la droite $\ln(\sigma T) = f(1/kT)$.

Spectroscopie d'impédance Complexe : Système $\text{Ag}_x(\text{Ge}_{0.25}\text{Se}_{0.75})_{100-x}$



Ion conducting glasses

→ **Mixed glass former effect:** Oxide glasses

System : $45 \text{ Li}_2\text{O} . 55 [x \text{ B}_2\text{O}_3 . (1-x) \text{ P}_2\text{O}_5]$

(structure locale, ^{11}B RMN, ^{31}P RMN)

→ **Mixed glass former effect:** Chalcogenide glasses

Systems : $0.3 \text{ Li}_2\text{S} 0.7[(1-x)\text{SiS}_2 x\text{GeS}_2]$, $0.5 \text{ Li}_2\text{S} 0.5[(1-x)\text{SiS}_2 x\text{GeS}_2]$

(structure locale, SAXS, Tg)

→ **Ag-based glasses**

Systems : $\text{Ag}_x(\text{Ge}_{0.25}\text{Se}_{0.75})_{100-x}$, $\text{Ag}_2\text{S}-\text{GeS}_2$, $\text{Ag}_2\text{S}-\text{GeS}-\text{GeS}_2$, $\text{Ag}_2\text{S}-\text{As}_2\text{S}_3$

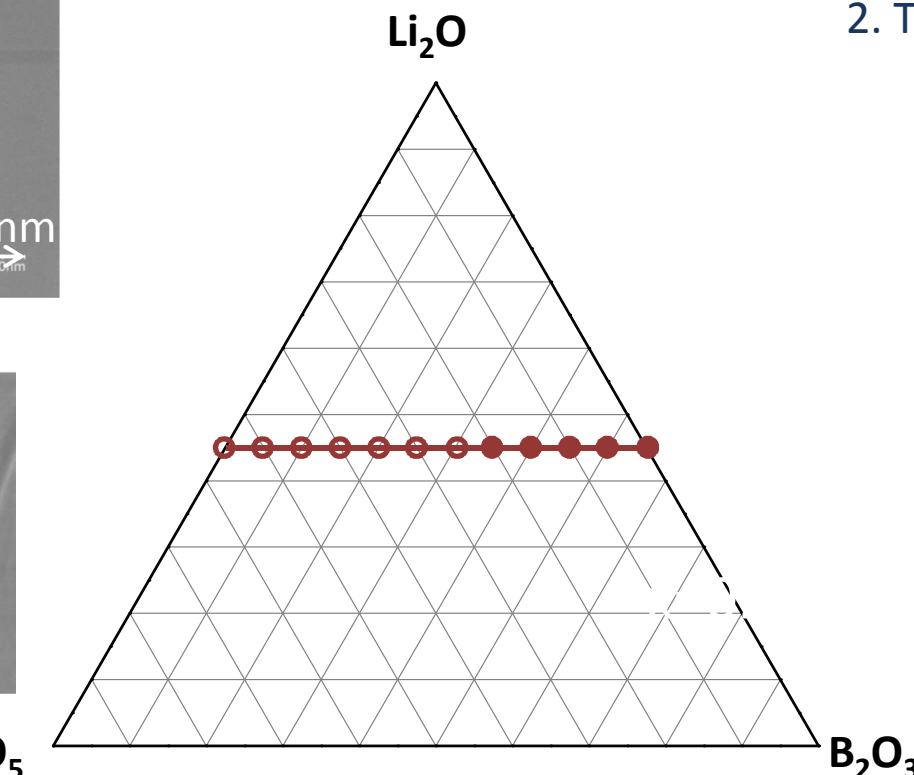
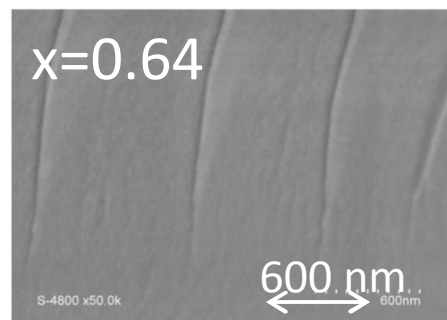
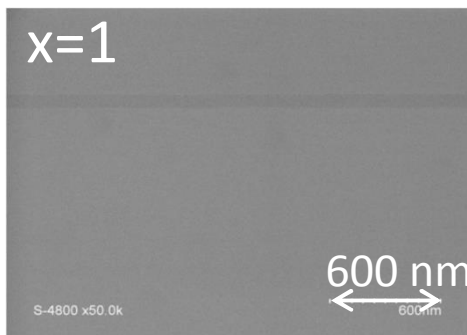
(separation de phases, EFM, C-AFM)

Ion conducting glasses

Mixed glass former effect: Oxide glasses

Thèse B. Raguenet

System : $45 \text{ Li}_2\text{O} - 55 [\text{x B}_2\text{O}_3 - (1-\text{x}) \text{ P}_2\text{O}_5]$



Extension of vitreous domain up to $x=1$

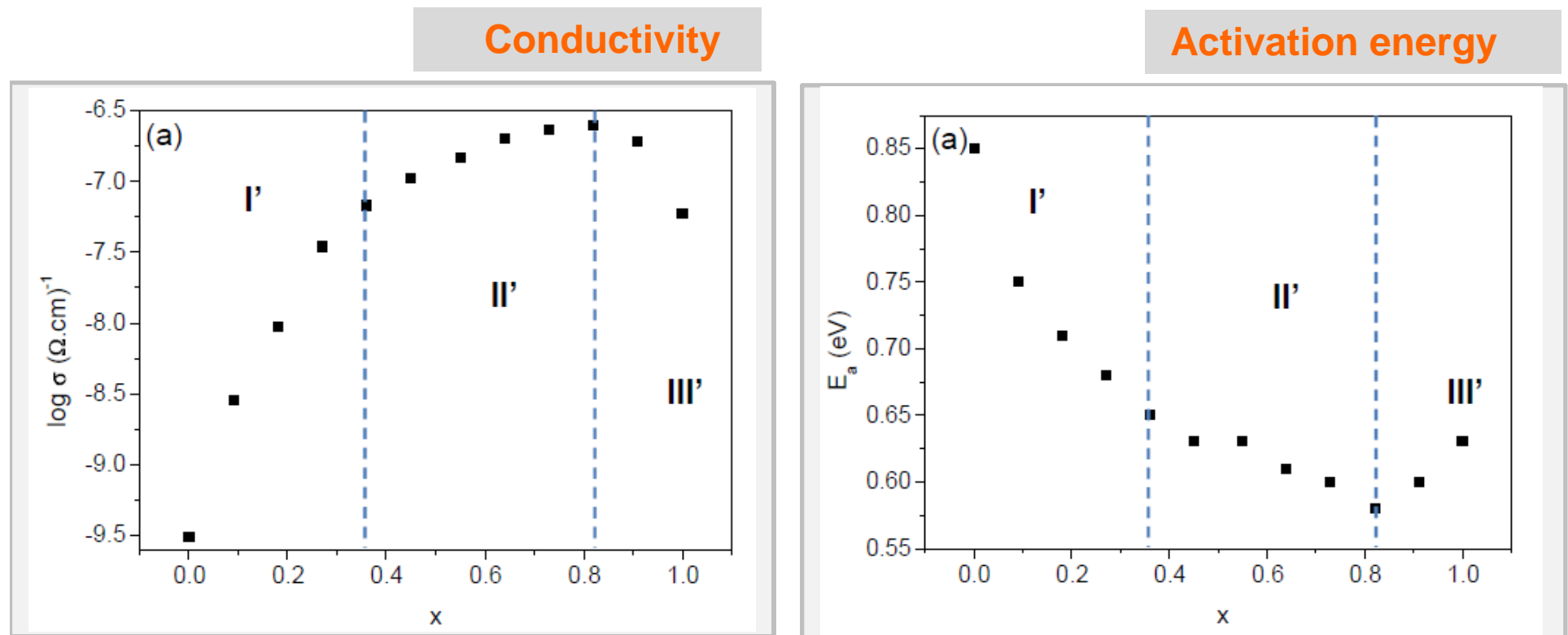
2. Twin roller quenching



System 45 Li₂O + 55 [x B₂O₃ + (1-x) P₂O₅]: conductivity

Mixed glass former effect: Oxyde glasses

System : 45 Li₂O – 55 [x B₂O₃ – (1-x) P₂O₅)]

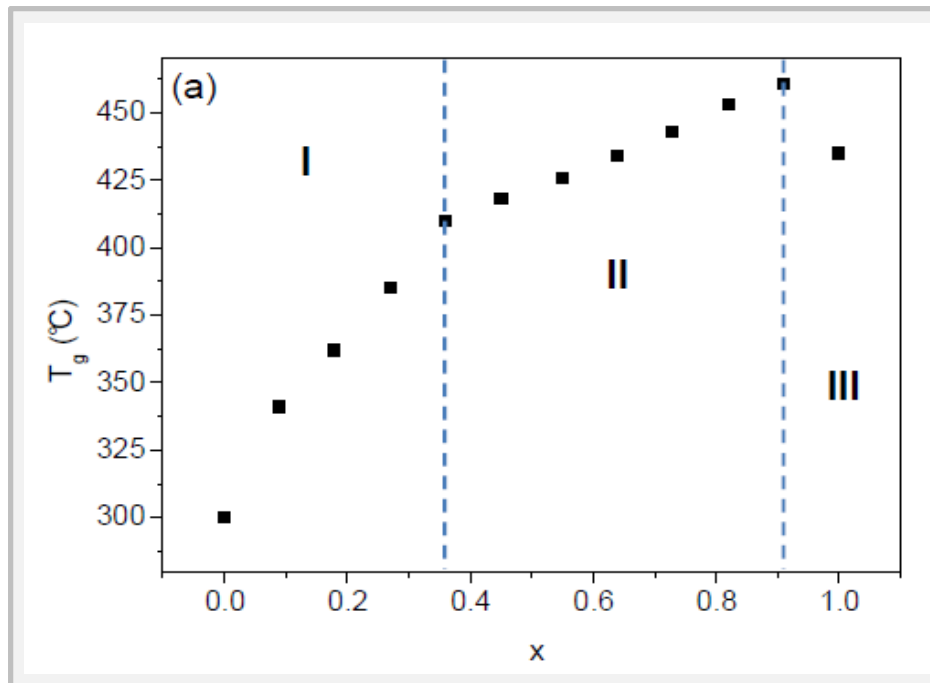


System 45 Li₂O + 55 [x B₂O₃ + (1-x) P₂O₅)]: T_g

Mixed glass former effect: Oxyde glasses

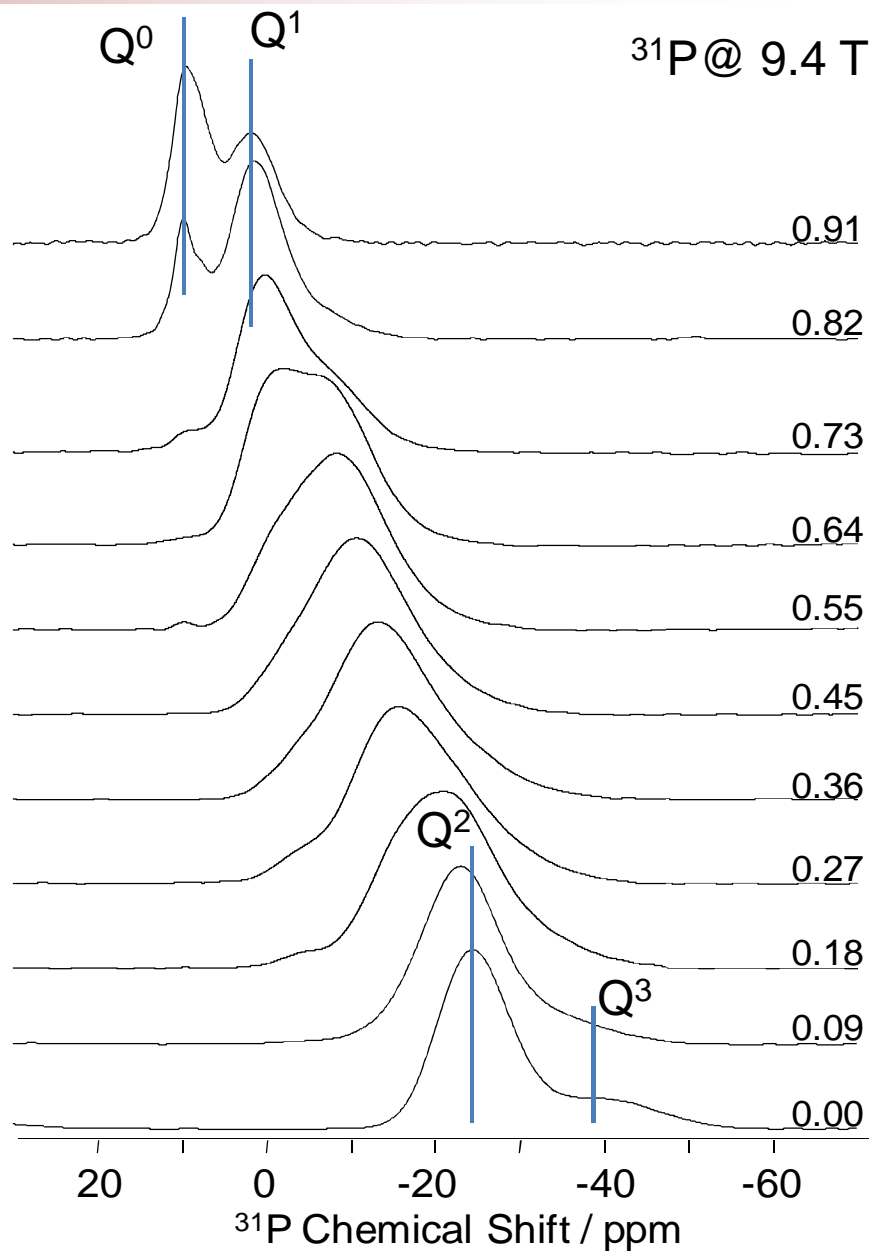
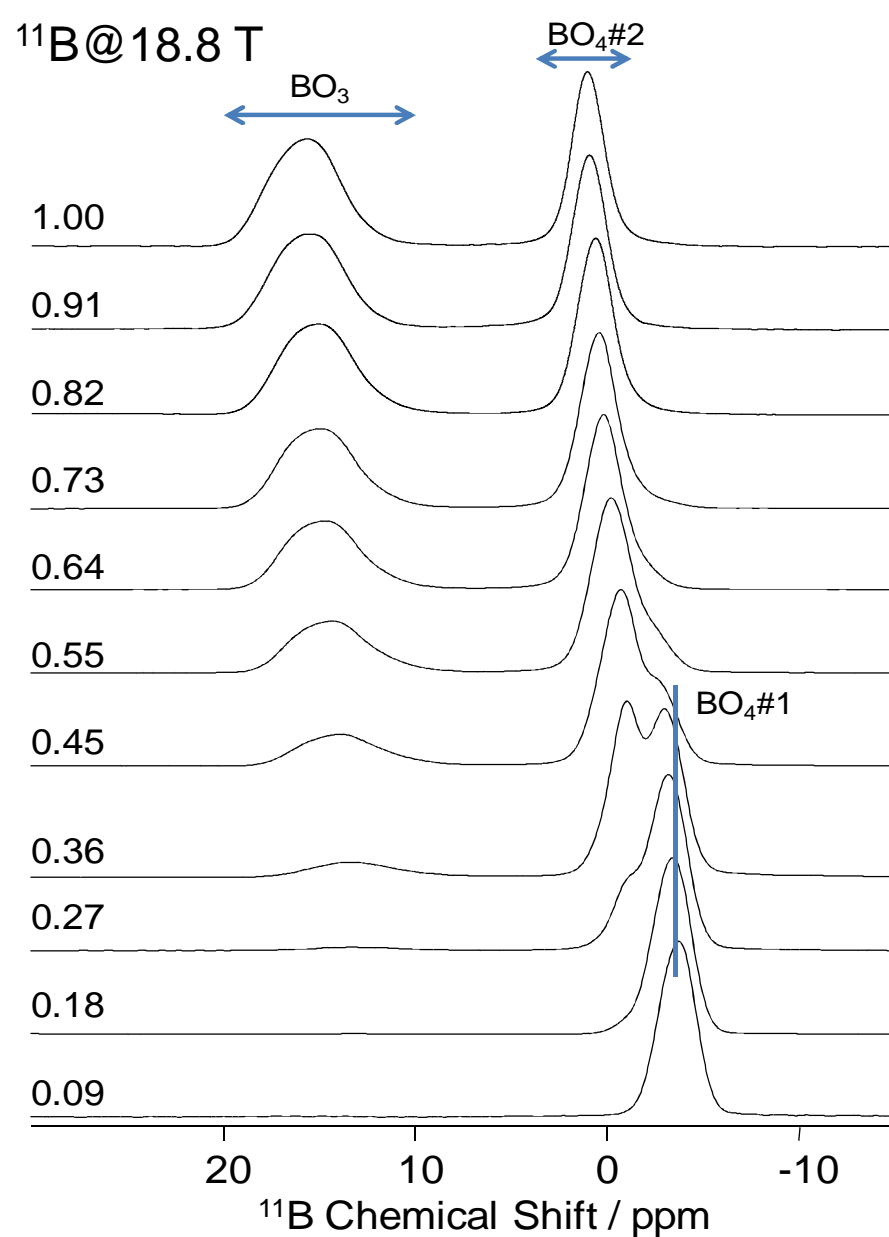
System : 45 Li₂O – 55 [x B₂O₃ – (1-x) P₂O₅)]

Glass transition temperature



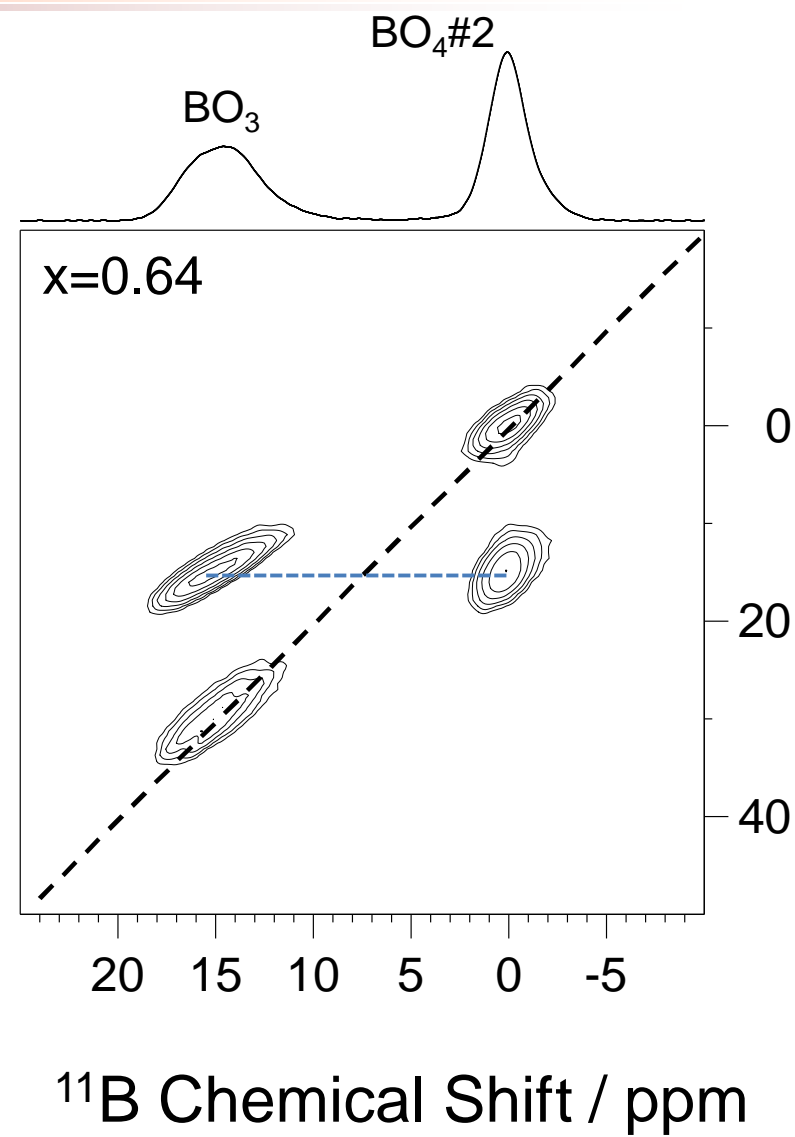
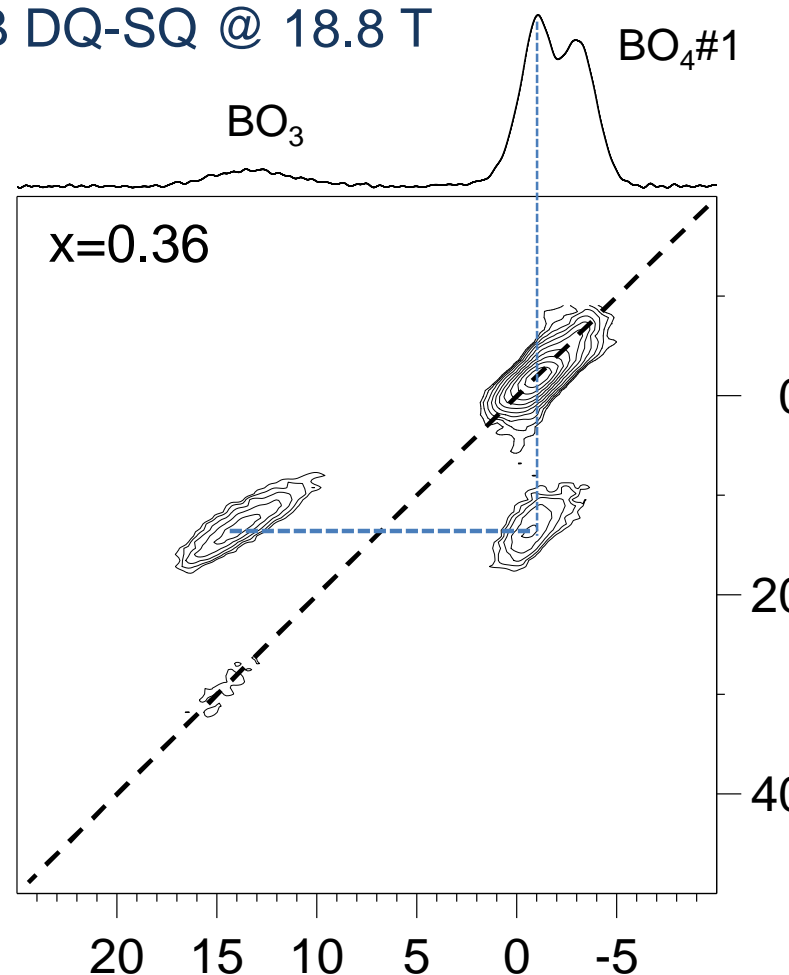
System 45 Li₂O + 55 [x B₂O₃ + (1-x) P₂O₅]: RMN

G. Tricot
TGIR Lille

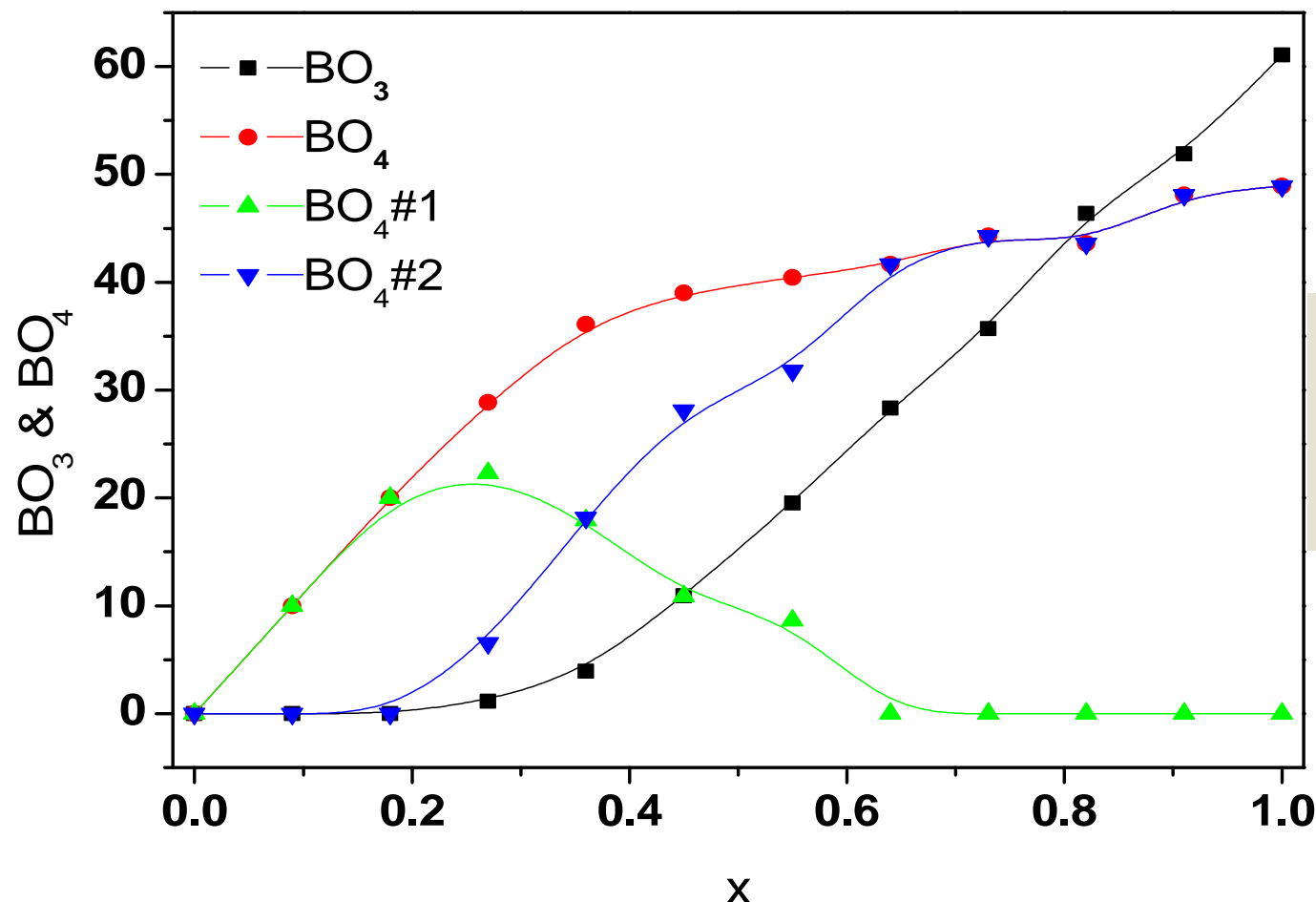


System 45 Li₂O + 55 [x B₂O₃ + (1-x) P₂O₅]: RMN

¹¹B DQ-SQ @ 18.8 T

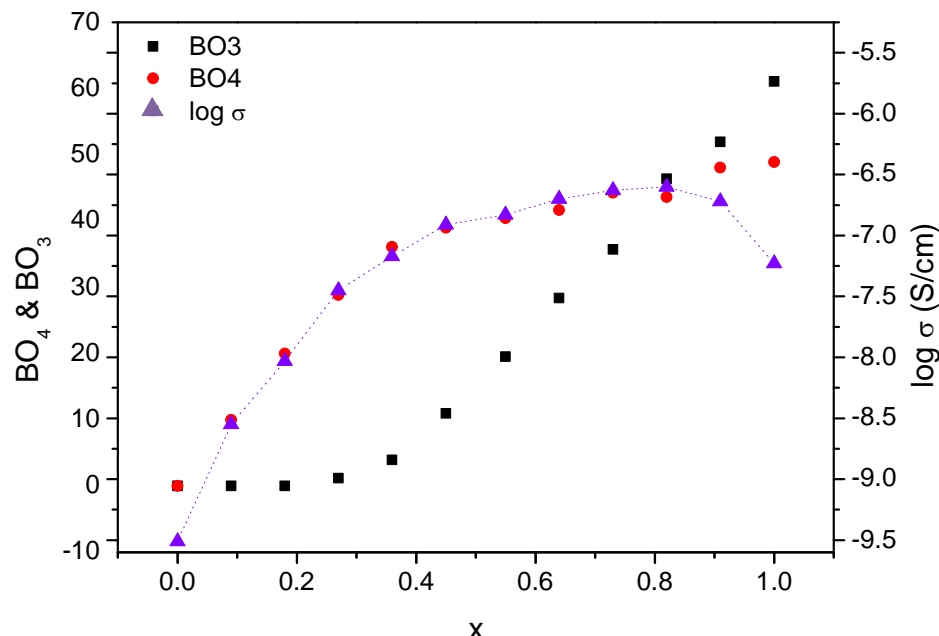


System 45 Li₂O + 55 [x B₂O₃ + (1-x) P₂O₅]: RMN



System 45 Li₂O + 55 [x B₂O₃ + (1-x) P₂O₅]: RMN

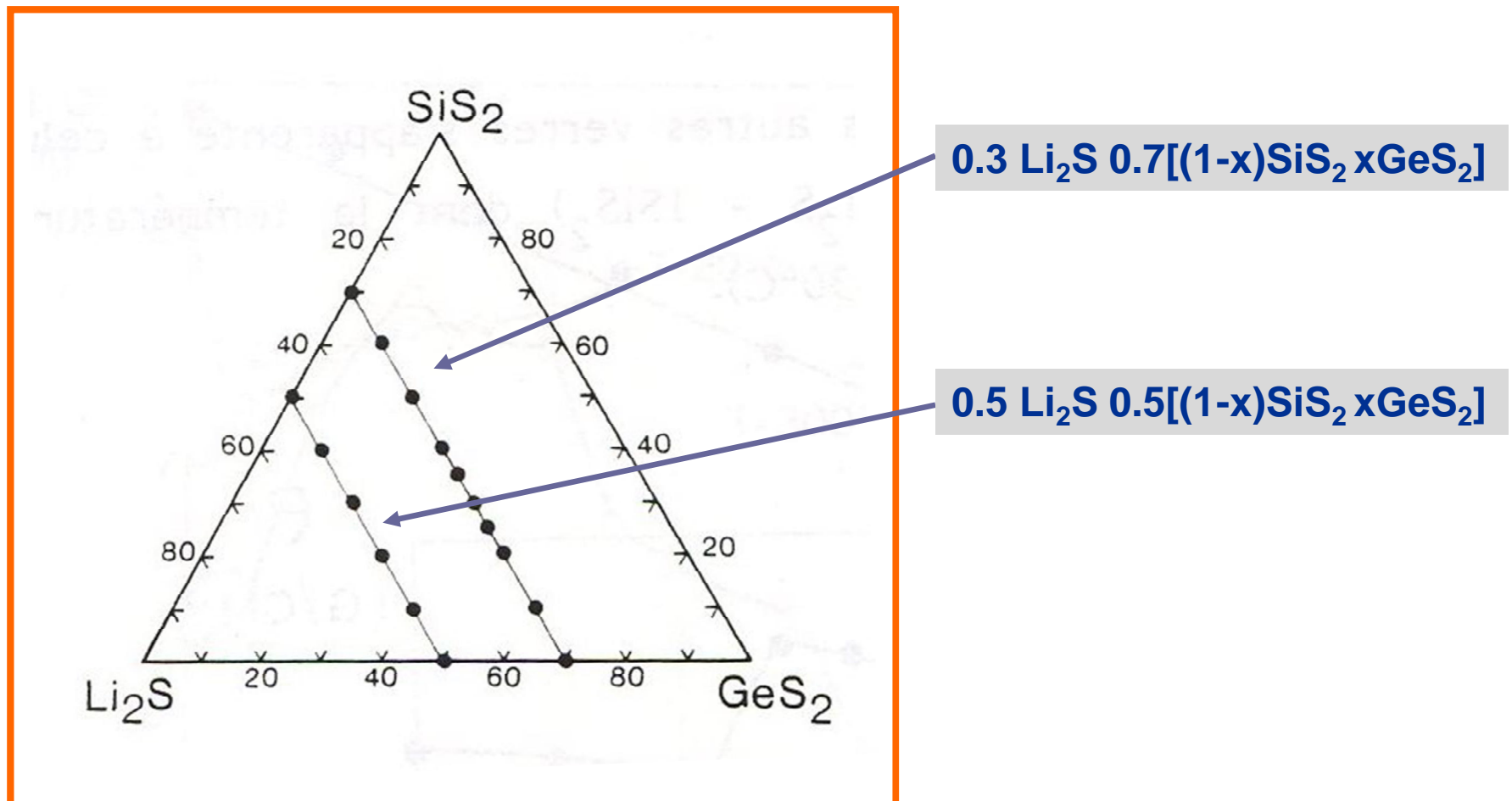
✓ The *Mixed Network Former Effect* is directly related to the BO₄ units!



- The coordination alone impacts the conductivity!
Li⁺ acts as a charge compensator in the presence of BO₄ units. It is then more mobile than Li⁺ close to non bridging oxygen
- The presence of phosphorous helps essentially in favouring the existence of BO₄ against BO₃
- The decrease in conductivity at high boron content occurs when the ratio BO₃/BO₄>1. BO₃ units probably break the conduction paths.

System Li_2S - $[(1-x)\text{SiS}_2-x\text{GeS}_2]$

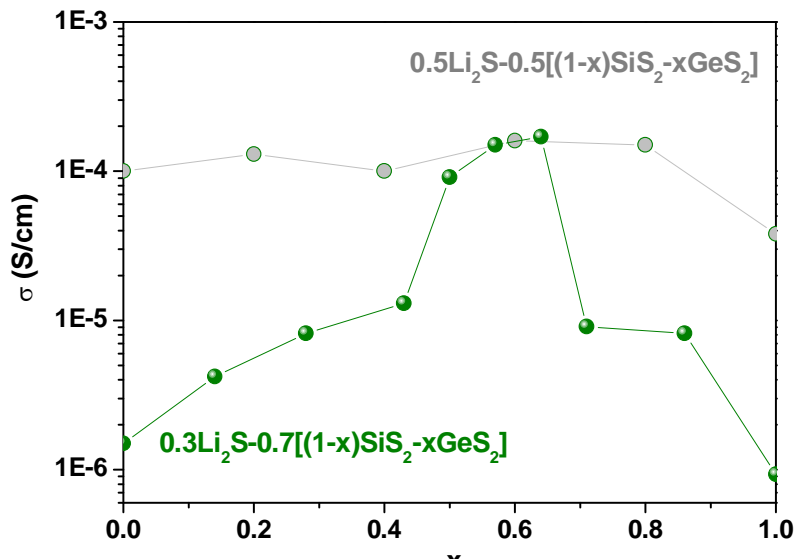
Mixed glass former effect: Chalcogenide glasses



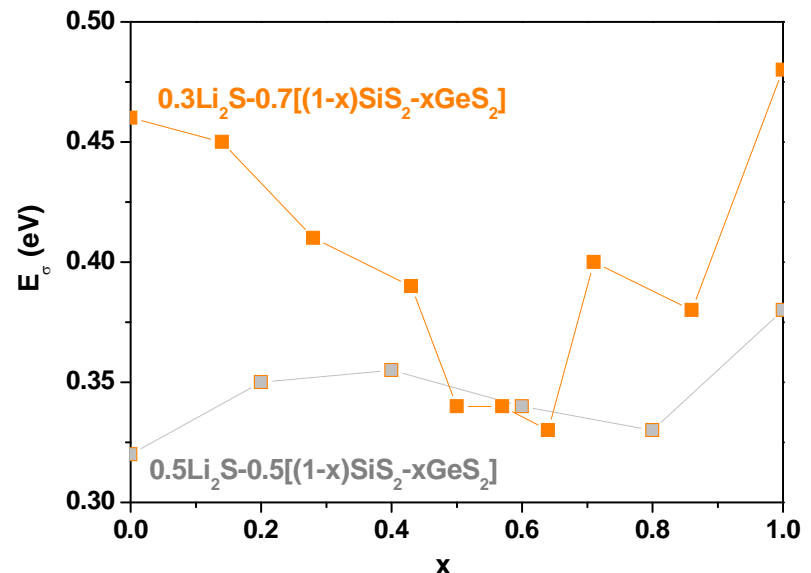
System Li_2S - $[(1-x)\text{SiS}_2-x\text{GeS}_2]$:: Conductivity and E_σ

Mixed glass former effect: Chalcogenide glasses

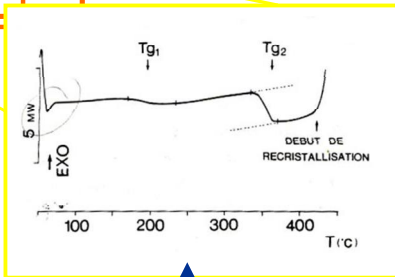
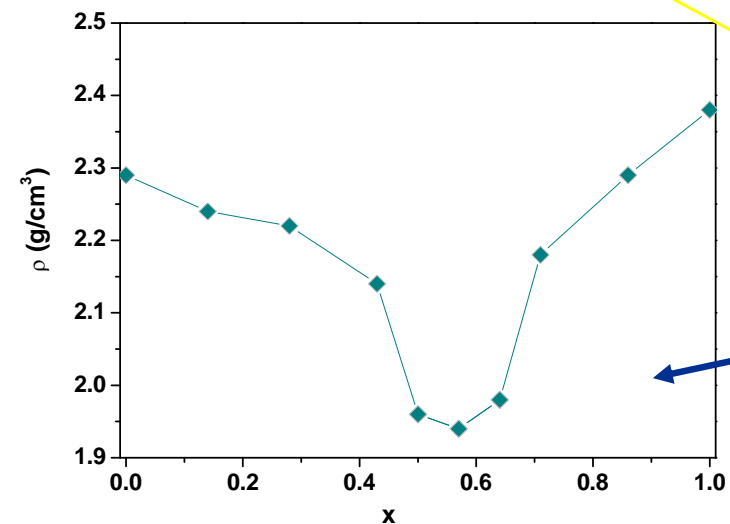
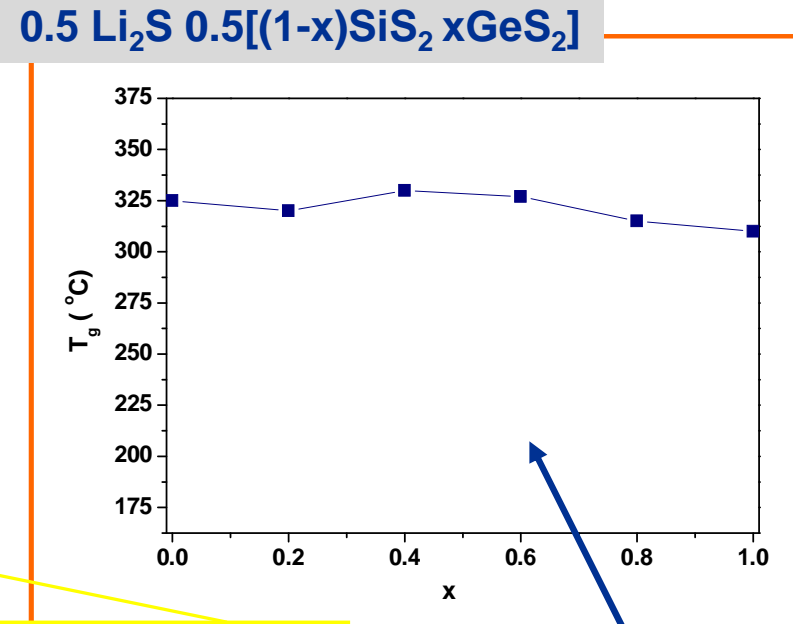
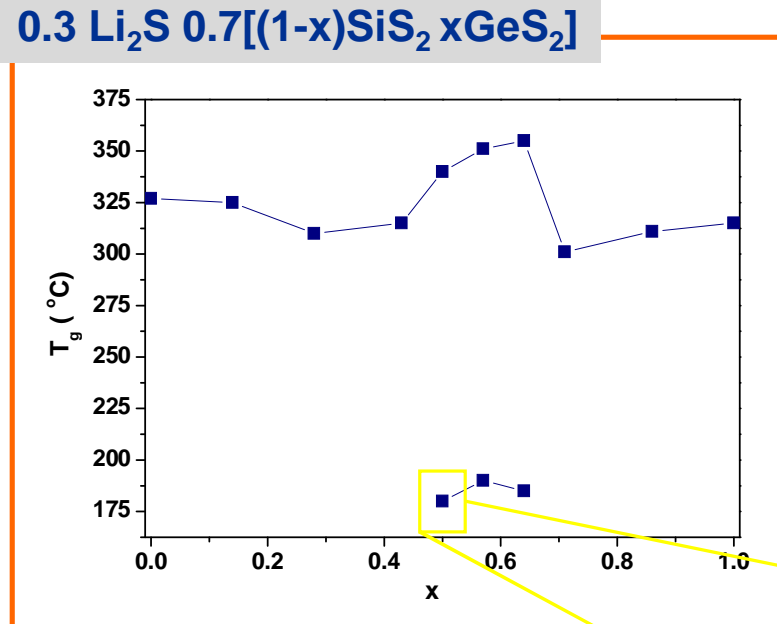
Conductivity



Activation energy



System Li_2S - $[(1-x)\text{SiS}_2-x\text{GeS}_2]$: T_g and density

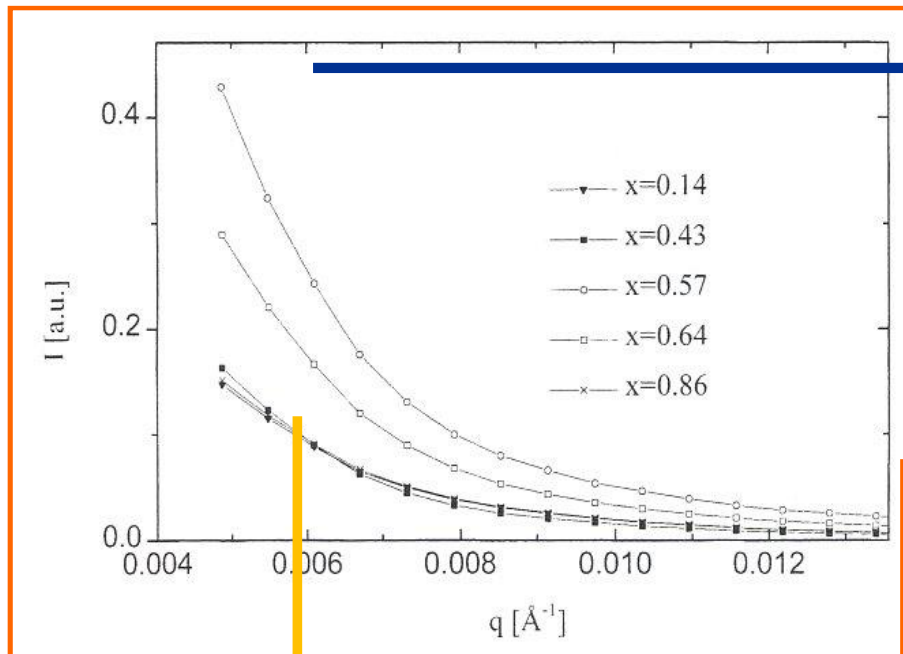


$2 T_g$ and a minimum in ρ for ~50:50 ratio in former content

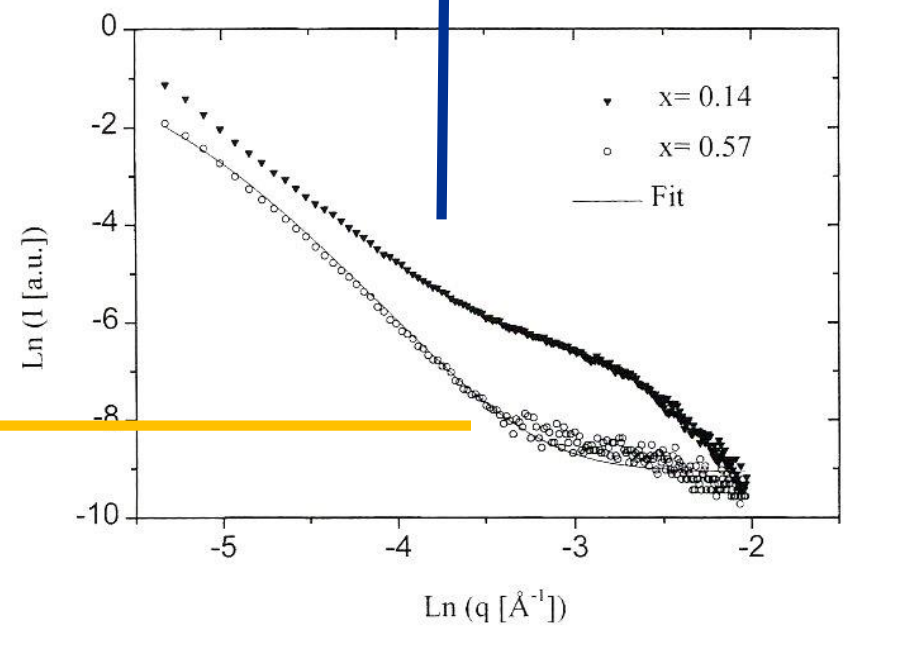
Smooth change in T_g

System $\text{Li}_2\text{S}-[(1-x)\text{SiS}_2-x\text{GeS}_2]$: SAXS

0.3 Li_2S 0.7 $[(1-x)\text{SiS}_2-x\text{GeS}_2]$

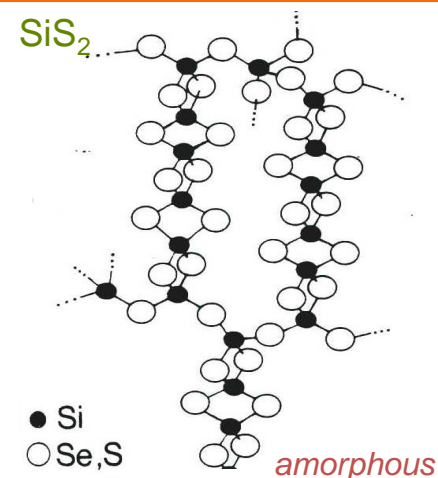


Porod Law:
*aggregates or clusters of
50 Å in size*



Debye-Bueche model:
homogeneous glasses

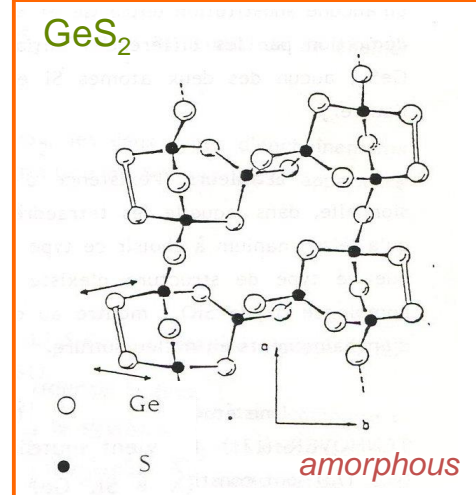
System Li_2S - $[(1-x)\text{SiS}_2-x\text{GeS}_2]$: Structure



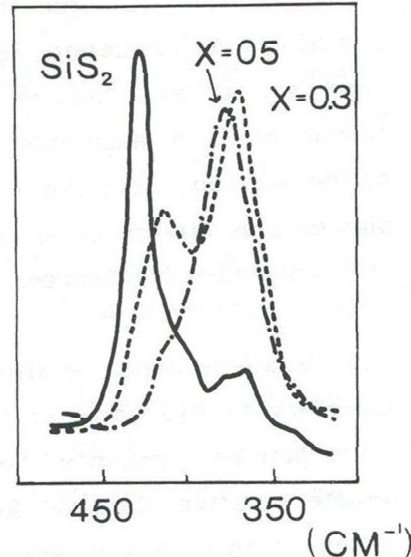
Different medium range order

No possible mixing of the two formers

Complete phase Separation (Tenhover 1983)



$x\text{Li}_2\text{S}$ - $(1-x)\text{SiS}_2$



Addition of Li_2S



Preferential destruction of edge sharing tetrahedra (²⁹Si NMR investigation)



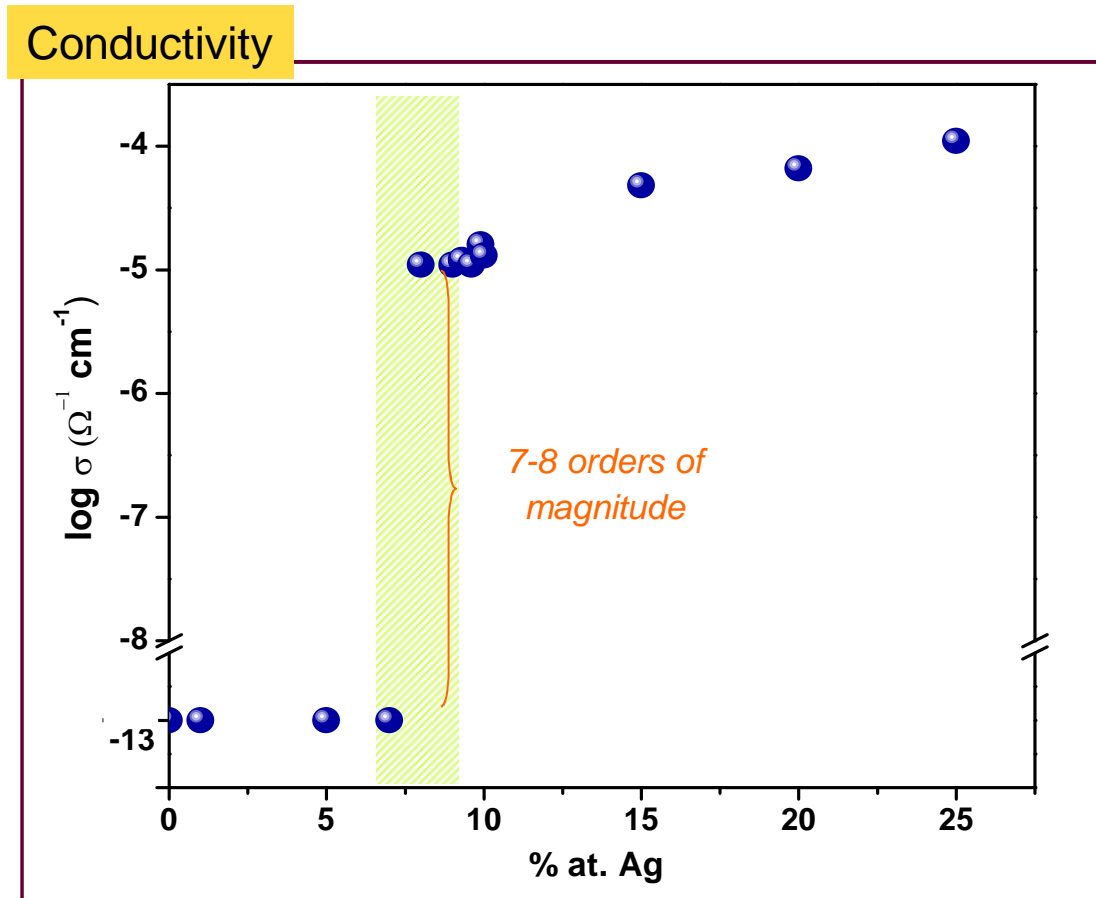
x=0.3 different MRO phase separation

x=0.5 similar MRO Complete solid solution

Structure / Electrical properties: Ag-Ge-Se(S) systems

Samples

$\text{Ag}_x(\text{Ge}_{0.25}\text{Se}_{0.75})_{100-x}$ with $0 < x < 30$ % at.

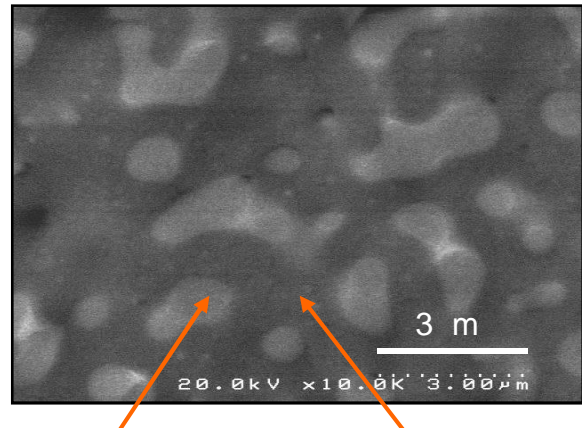


A sudden break in the
« conductivity vs Ag content »
curve for 8-10% in Ag

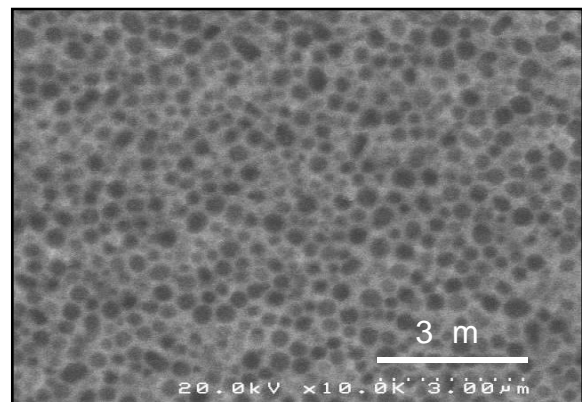
Microstructural study : $\text{Ag}_x(\text{Ge}_{0.25}\text{Se}_{0.75})_{100-x}$ glasses

Ag5

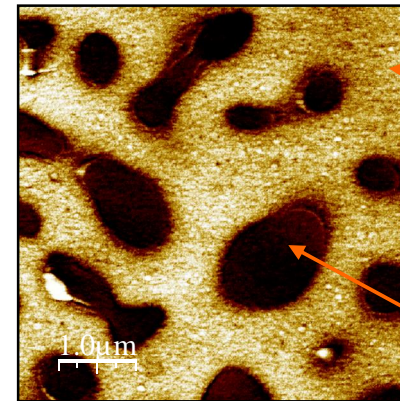
FE-SEM



Ag15

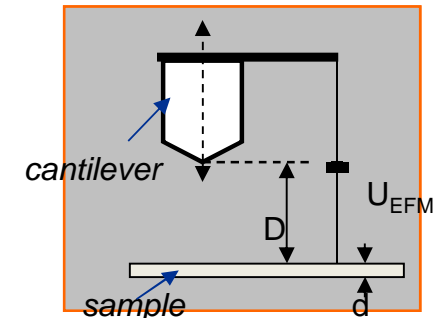
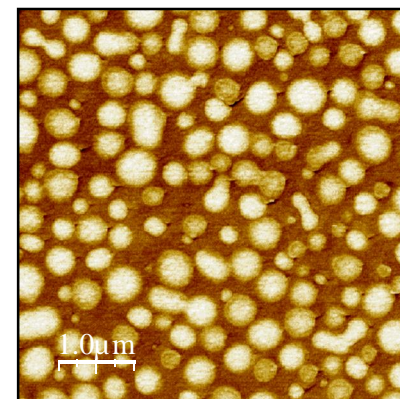


EFM V = - 5V



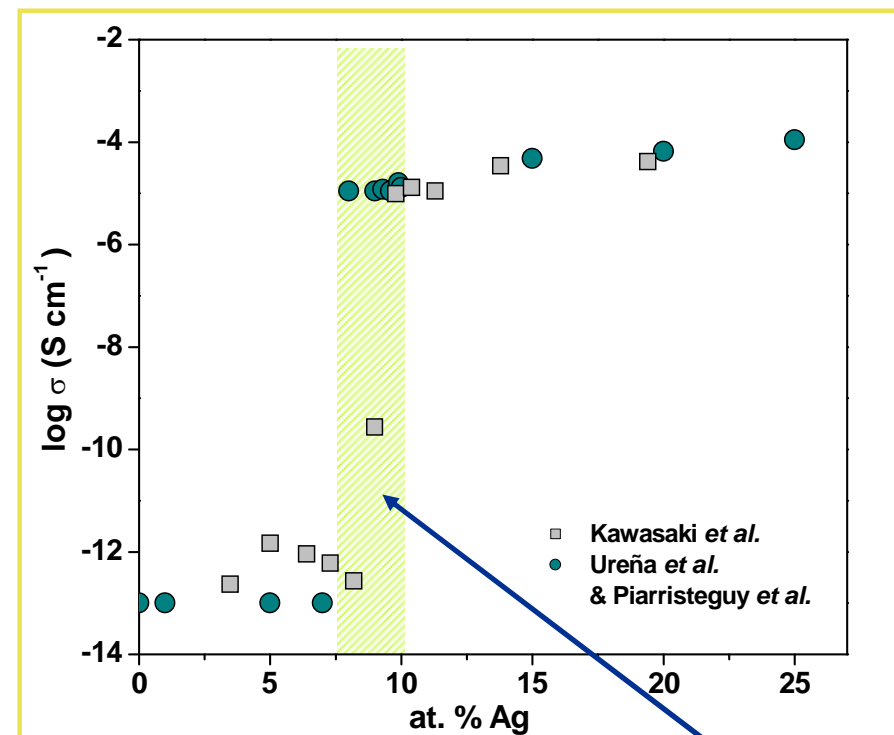
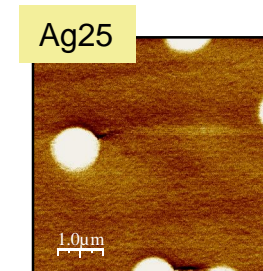
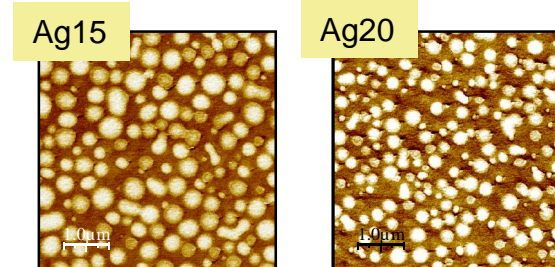
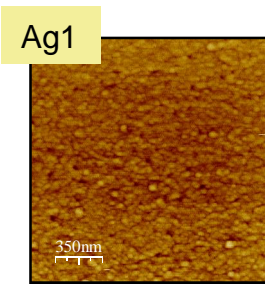
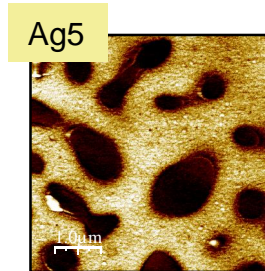
Clear-areas
(Ag-poor phase)

Dark-areas
(Ag-rich phase)



Microstructural study : $\text{Ag}_x(\text{Ge}_{0.25}\text{Se}_{0.75})_{100-x}$ glasses

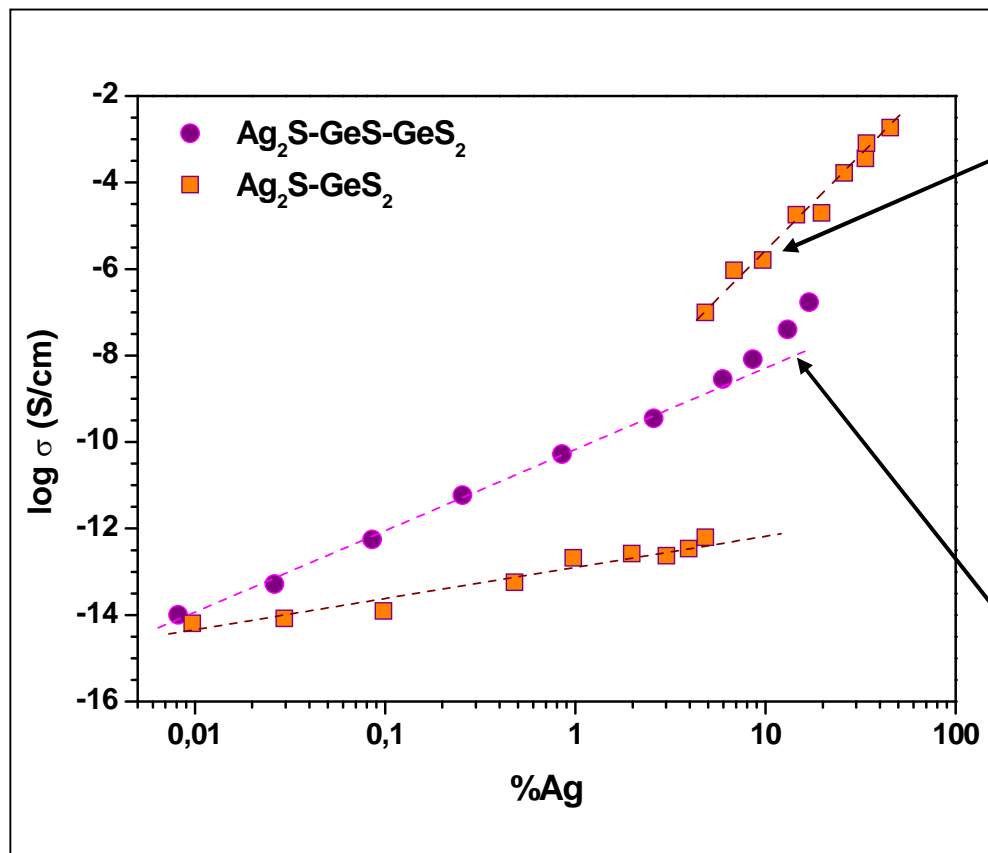
Ag-rich phase
embedded in
Ag-poor phase



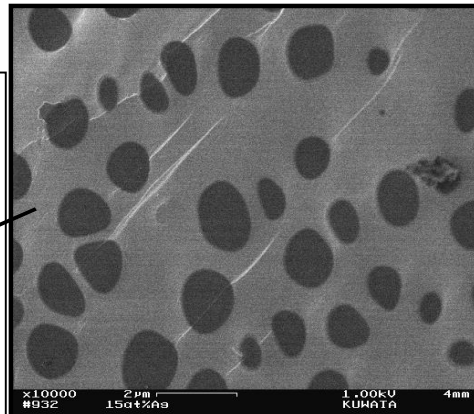
Percolation threshold

Ag-rich phase
is the **connecting**
phase

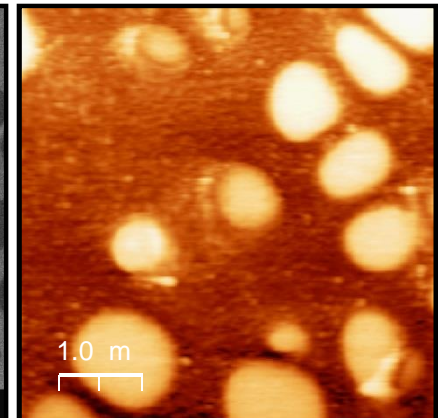
Microstructural study : Ag-Ge-S glasses



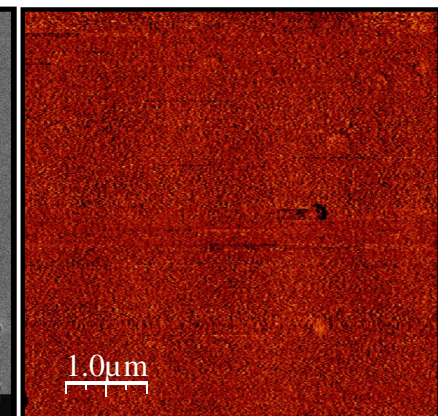
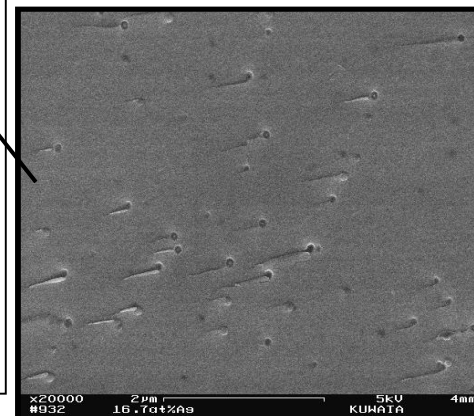
FE-SEM



EFM -3V



$\text{Ag}_2\text{S}-\text{GeS}_2$ (15%Ag)



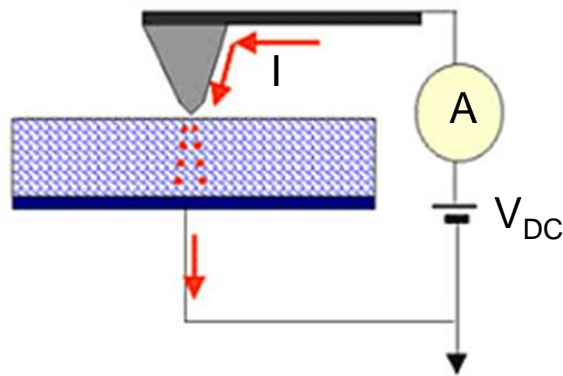
E. Bychkov, V. Tsegelnik, Yu. Vlasov, A. Pradel, M. Ribes, J. Non-Cryst. Solids 208, 1 (1996).

A. Pradel, N. Kuwata, M. Ribes, J. Phys.: Condens. Matter 15, 1561 (2003).

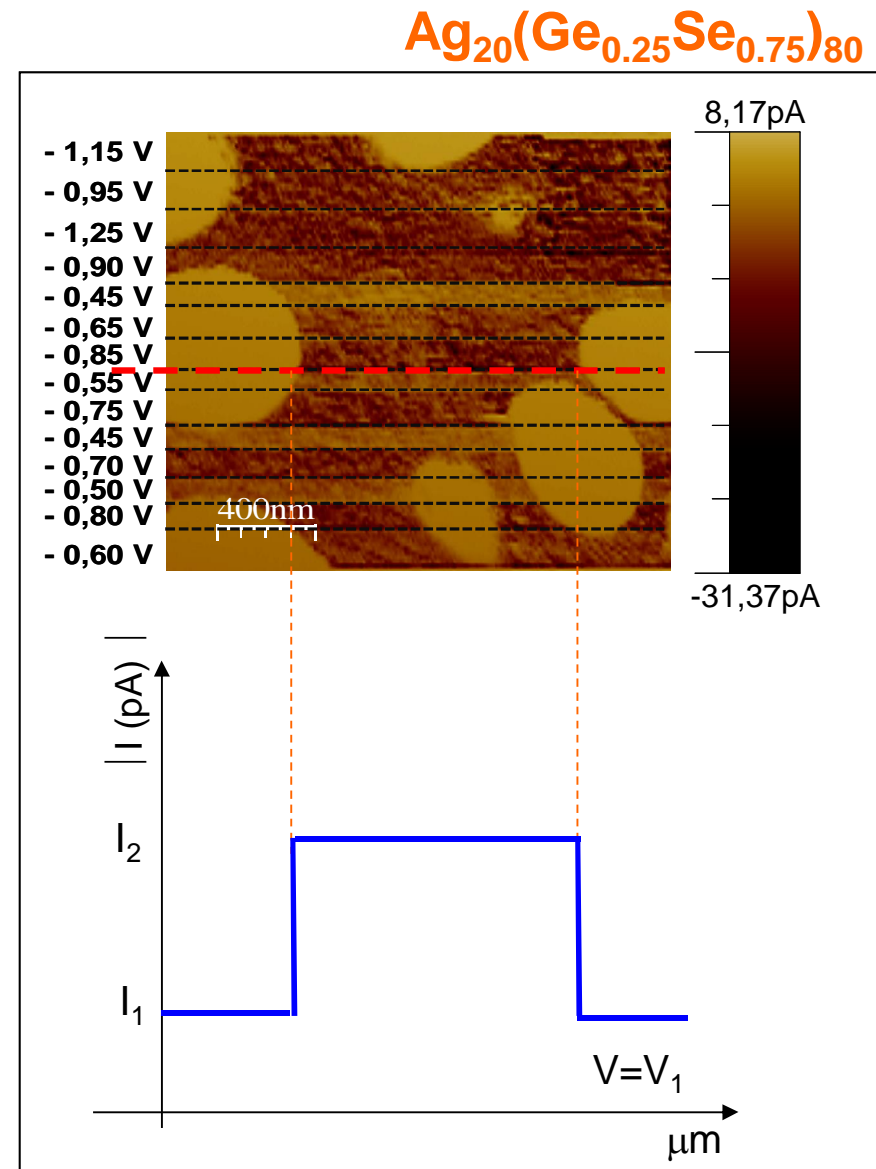
$\text{Ag}_2\text{S}-\text{GeS}_2-\text{GeS}_2$ (16.7%Ag)

Conductivity of each phase: Conductive Atomic Force Microscopy

✓ C-AFM



- ✓ The current through the **Ag-rich phase** increases when the applied dc bias increases.
- ✓ Practically any current flows through the **Ag-poor phase**.

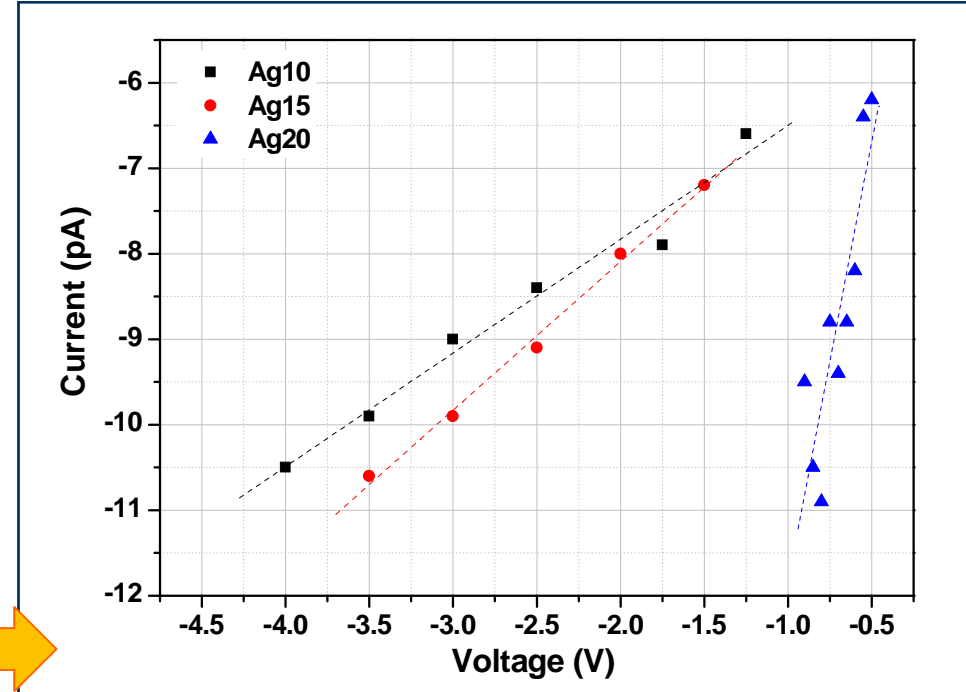
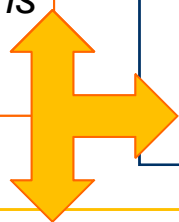


Conductivity of each phase: Conductive Atomic Force Microscopy

✓ C-AFM

Qualitative evaluation of conductivity

If the contact is assumed to be circular and Ohmic in nature then the relation between the resistance R and the resistivity is given by the basic spreading resistance formula $R \sim \rho / 4r$ where r is the radius of the contact



For the tip radius: : $r \sim 10 \text{ nm}$

$$\sigma \sim 0,3 \times 10^{-6} \Omega^{-1} \text{cm}^{-1}$$

to $3 \times 10^{-6} \Omega^{-1} \text{cm}^{-1}$

with increasing of the silver content in the samples.

Conclusion

Rôle important de la structure sur la mobilité des ions dans les verres

System : $45 \text{ Li}_2\text{O} - 55 [\text{x B}_2\text{O}_3 - (1-\text{x}) \text{ P}_2\text{O}_5]$

Evolution non linéaire de la conductivité liée à la stabilisation des B^{IV} en présence de ténacités phosphate

System : $30 \text{ Li}_2\text{S} - 70 [\text{x SiS}_2 - (1-\text{x}) \text{ GeS}_2]$

Augmentation de la conductivité quand $\text{Ge/Si} \sim 1$ due à une séparation de phase

System : $\text{Ag}_x(\text{Ge}_{0.25}\text{Se}_{0.75})_{100-x}$

Saut de conductivité de 8 ordres de grandeur due à la percolation d'une phase riche en argent